

**СТРУКТУРА УДАРНЫХ ВОЛН В ЖИДКОСТИ, СОДЕРЖАЩЕЙ
ПУЗЫРЬКИ ГАЗА**

Р. И. НИГМАТУЛИН, В. Ш. ШАГАПОВ

(Москва, Уфа)

Теоретически исследуется структура стационарной ударной волны в жидкости, содержащей пузырьки газа. Для описания такой двухфазной смеси используется двух-скоростная, двухтемпературная, с двумя давлениями модель [1], учитывающая мелкомасштабные течения, несовпадение скоростей, температур и давлений фаз, пульсации пузырьков¹. Показано существование ударных волн как с пульсационной, так и с монотонной структурой. Показано существование как ударных волн, имеющих впереди поверхности разрыва, так и ударных волн с непрерывной структурой. Показано, что в отличие от двухфазных смесей газа с каплями или частицами, где структура волны в основном зависит от межфазного трения, в двухфазных смесях жидкости с пузырьками поведение волны и ее структура кардинально зависят от межфазного теплообмена. При этом характеристики волн, такие как длина пульсационных волн, декремент их затухания, зависят не монотонно от параметров, определяющих интенсивность теплообмена, и не лежат между соответствующими значениями для изотермического и адиабатического режимов поведения пузырьков.

Ударные волны в жидкостях с пузырьками газа теоретически и экспериментально исследовались в [3-7]. обстоятельный обзор работ по 1971 г. дан в [8].

1. Основные уравнения. Рассмотрим движение жидкости с взвешенными в ней пузырьками газа при следующих [1] основных допущениях: 1) расстояния, на которых параметры потока меняются существенно, много больше расстояний между пузырьками, которые в свою очередь гораздо больше размеров пузырьков (т. е. объемные содержания газовой фазы α_2 достаточно малы: $\alpha_2 \leq 0.1$); 2) смесь монодисперсная, т. е. в каждом элементарном объеме все пузырьки сферические и одного диаметра δ ; 3) вязкость и теплопроводность существенны лишь в процессах межфазного взаимодействия, и в частности при пульсациях пузырьков.

Кроме того, будем рассматривать случаи, когда отсутствует массообмен между фазами, а температуру жидкости T_1 (в отличие от температуры пузырьков газа) можно считать постоянной.

Для рассматриваемой смеси в рамках представлений сплошной среды, следуя [1], запишем дифференциальные уравнения сохранения масс каждой фазы, числа пузырей и импульсов каждой фазы в одномерном стационарном движении

$$(1.1) \quad \frac{d(\rho_1 v_1)}{dx} = 0, \quad \frac{d(\rho_2 v_2)}{dx} = 0, \quad \frac{d(nv_2)}{dx} = 0$$

$$\rho_i = \rho_i^0 \alpha_i, \quad i=1, 2, \quad \alpha_1 + \alpha_2 = 1$$

$$\rho_1 v_1 \frac{dv_1}{dx} = -\alpha_1 \frac{dp_1}{dx} - nf, \quad \rho_2 v_2 \frac{dv_2}{dx} = -\alpha_2 \frac{dp_1}{dx} + nf$$

¹ Модель [1] в частном случае переходит в модель Б. С. Когарко [2]. Отметим, что более полные результаты Б. С. Когарко имеются в его кандидатской диссертации (МГУ, 1965).

Здесь индекс $i=1, 2$ внизу относится к параметрам соответственно жидкости и газа; ρ_i и ρ_i° — соответственно средняя и истинная плотность i -й фазы; α_i — объемное содержание i -й фазы; n — количество пузырей в единице объема смеси; v_i и p_i — скорость и давление i -й фазы; f — сила межфазного взаимодействия, приходящаяся на один пузырек, за счет трения и эффекта присоединенных масс.

В [9] для жидкости со взвешенными включениями при $\alpha_2 \ll 1$ уравнение импульса несущей (первой) фазы имеет дополнительное слагаемое $d\sigma/dx$ (где $\sigma = k\rho_1^\circ\alpha_2(v_2-v_1)(v_2-v_1)$, $k=1$), которое соответствует пульсационному переносу импульса из-за неоднородности поля скоростей жидкости при относительном движении в ней включений и является аналогом рейнольдсовых напряжений. Оставляя вопрос о значении k , заметим, что для жидкости с пузырями газа при $\alpha_2 \ll 1$ слагаемое $d\sigma/dx$ — величина более высокого порядка малости, чем остальные слагаемые, из-за $\alpha_2 \ll 1$, $|v_2-v_1| \ll v_1, v_2$ (см., например, п. 5).

Так как смесь монодисперсная и фазовые переходы отсутствуют, имеем

$$(1.2) \quad \alpha_2 = \pi n \delta^3 / 6, \quad \rho_2^\circ / \rho_{20}^\circ = (\delta_0 / \delta)^3$$

Здесь и далее везде индекс 0 внизу относится к некоторому фиксированному состоянию, а именно к равновесному состоянию перед волной.

Уравнение притока тепла второй фазы (газа) имеет вид

$$(1.3) \quad \rho_2 v_2 \frac{du_2}{dx} = \frac{\alpha_2 p_2 v_2}{\rho_2^\circ} \frac{d\rho_2^\circ}{dx} + nq$$

где u_2 — удельная внутренняя энергия газа, q — интенсивность межфазного теплообмена, приходящаяся на один пузырек. Вместо уравнения энергии первой фазы (жидкости) будет использоваться условие $T_1 = T_0 = \text{const}$.

Давление фаз и размер пузырей должны быть связаны условием совместного деформирования. Таким условием в данном случае является уравнение Рэлея, соответствующее пульсациям одиночного сферического пузыря в безграничной несжимаемой жидкости

$$(1.4) \quad \delta v_2 \frac{dw}{dx} + 3w^2 - \frac{(v_1 - v_2)^2}{2} + \frac{16v_1}{\delta} w = \frac{2(p_2 - p_1 - 4\sigma/\delta)}{\rho_1^\circ}$$

$$v_2 \frac{d\delta}{dx} = 2w$$

где w — радиальная скорость стенок пузыря, v_1 — кинематический коэффициент вязкости жидкости и σ — коэффициент поверхностного натяжения. Третье слагаемое в левой части первого уравнения (1.4) приближенно учитывает влияние поступательного движения пузырька относительно жидкости [10].

Численные расчеты, описанные в п. 5, показали, что w и $v_1 - v_2$ — величины одного порядка и влияние третьего и второго слагаемых в случае не очень сильных ударных волн ($p_2/p_0 < 5$) не существенно в плане сравнения расчетов с экспериментом.

Примем следующие уравнения состояния фаз:

$$(1.5) \quad p_1 = p_0 + a_1^2 (\rho_1^\circ - \rho_{10}^\circ), \quad u_2 = c_2 T_2, \quad p_2 = (\gamma - 1) c_2 \rho_2^\circ T_2$$

где a_1 — скорость звука в чистой жидкости, c_2 и γ — теплоемкость при постоянном объеме и показатель адиабаты газовой фазы.

Величины q и f , характеризующие межфазные взаимодействия, можно представить в виде

$$(1.6) \quad q = \pi \delta^2 \beta (T_1 - T_2) = \pi \delta \lambda_2 N (T_1 - T_2), \quad N = \beta \delta / \lambda_2$$

$$f = f_m + f_j, \quad f_m = \frac{\pi}{12} \rho_1^\circ \left[v_2 \frac{d}{dx} (\delta^3 (v_1 - v_2)) + \delta^3 (v_1 - v_2) \frac{dv_1}{dx} \right]$$

$$f_j = \chi_j \rho_1^\circ v_1 \delta (v_1 - v_2), \quad \chi_j = \chi_j (R_{12}), \quad R_{12} = \delta (v_1 - v_2) v_1^{-1}$$

где β — коэффициент теплообмена между фазами, N — соответствующее число Нуссельта, λ_2 — коэффициент теплопроводности газа; составляющая f_m соответствует эффекту присоединенных масс¹ из-за ускорения жидкости относительно пузырька, а составляющая f_j — вязкому трению. Коэффициент трения χ_j при числе Рейнольдса $R_{12} < 10$ определяется так же, как и для твердой частицы: $\chi_j = 3\pi(1 + 0.15R_{12}^{0.687})$, что связано с действием поверхностно-активных веществ; при $10 \leq R_{12} \leq 500$ значение $\chi_j \approx 6\pi$, что соответствует формуле В. Г. Левича [12], при $R_{12} > 500$ начинает сказываться несферичность пузырька и $C_D \sim \chi_j/R_{12}$ увеличивается с ростом R_{12} [13]. При больших числах Вебера $W = \rho_1^\circ \delta (v_1 - v_2)^2 / \sigma$ несферичность сказывается при меньших R_{12} , что может повлиять и на f_m .

Вместо (1.1) возможен несколько иной подход, использованный в [3, 5, 6, 8]. В (1.1), следуя [4], полагается, что импульс единицы объема смеси равен

$$(1.7) \quad \rho I = \rho_1 v_1 + \rho_2 v_2$$

и v_1 соответствует среднemasовой скорости жидкой фазы, которая отличается от скорости жидкости вдали от пузырька v_1° из-за возмущений, вносимых относительным движением включений. Если вместо v_1 использовать v_1° , то наряду с (1.7) имеем

$$(1.8) \quad \rho I = \rho_1 v_1^\circ + n i_v + \rho_2 v_2, \quad i_v \approx \frac{1}{2} \rho_1^\circ \frac{\pi \delta^3}{6} (v_2 - v_1)$$

где i_v соответствует импульсу, приходящемуся на один пузырек жидкости из-за его относительного движения.

Численные расчеты, описанные в п. 5, показали, что несмотря на различие между системами, результаты решения практически в плане сравнения с экспериментом неотличимы друг от друга даже для достаточно слабых волн с осциллирующей структурой, реализующихся при допущении политропичности поведения газа в пузырьках, когда учет относительного движения фаз заметно влияет на структуру ударной волны. Это связано с тем, что хотя $|n i_v| \gg \rho_2 v_2$, тем не менее $|n i_v| / \rho_1 v_1 \approx |n i_v| / \rho_1 v_1^\circ < < 1/2 \alpha_2 \ll 1$, т. е. поток импульса смеси практически равен $\rho_1 v_1^2 \approx \rho_1 v_1^\circ{}^2$. Кроме того, из (1.7), (1.8) следует:

$$(1.9) \quad \rho_1 v_1 = \rho_1 v_1^\circ + n i_v, \quad \frac{v_1 - v_2}{v_1^\circ - v_2} = 1 - \frac{\alpha_2}{2}$$

поэтому, в частности, в выражениях для сил межфазного взаимодействия f_j и f_m вместо $v_1^\circ - v_2$ можно подставлять $v_1 - v_2$ (см. (1.6)) и наоборот.

Система уравнений (1.1) — (1.6) замкнутая. Перейдем к безразмерным переменным и приведенным параметрам

$$(1.10) \quad P_i = \frac{p_i}{p_{10}}, \quad U_i = \frac{v_i}{a_*}, \quad \theta_i = \frac{T_i}{T_0}, \quad r_i = \frac{\rho_i^\circ}{\rho_{10}^\circ}$$

$$D = \frac{\delta}{\delta_0}, \quad W = \frac{w}{a_*}$$

$$M_2 = \frac{\rho_2 v_2}{\rho_1 v_1} = M_{20} = \frac{\rho_{20}^\circ}{\rho_{10}^\circ} \frac{\alpha_{20} U_{20}}{\alpha_{10} U_{10}}, \quad M_{12} = \chi_m \frac{\rho_1^\circ \alpha_2 v_2}{\rho_1 v_1} = \chi_m \frac{\alpha_2 r_1 U_2}{\alpha_{10} U_{10}}$$

$$A_1 = \frac{a_1}{a_*}, \quad \eta = \frac{16 v_1}{\delta_0 a_*}, \quad s = \frac{4 \sigma}{\delta_0 p_{10}}, \quad C_2 = \frac{c_2 T_{10}}{a_*^2}, \quad a_*^2 = \frac{p_{10}}{\rho_{10}^\circ}$$

¹ Выражение для f_m записано с учетом [8, 11].

$$(1.11) \quad f^* = \frac{nf_f}{\rho_1 v_1 a_*} = \frac{6\chi_f v_1}{\pi \delta_0^2 a_*} \frac{\alpha_{20} r_1 D (U_1 - U_2)}{\alpha_{10} U_2}$$

$$q^* = \frac{nq}{\rho_1 v_1 a_*^2} = \frac{6\lambda_2 T_0 N}{\rho_{10} \delta_0^2 a_*^3} \frac{\alpha_{20} D^2 (1 - \theta_2)}{\alpha_{10} U_2}$$

Следует отметить, что пузырьковая структура существует при $\alpha_2 \leq 0.1$, и при умеренных давлениях ($p \leq 10-30$ бар) $M_{20} \ll M_{12} \ll 1$, $A_1^{-2} \ll 1$.

С учетом (1.10) и (1.11) из (1.1) — (1.5) получим систему уравнений относительно безразмерных переменных

$$(1.12) \quad (1 + M_{12}) \frac{dU_1}{dx} - M_{12} \frac{dU_2}{dx} + \frac{\alpha_1}{\alpha_{10} U_{10}} \frac{dP_1}{dx} = -f^*$$

$$-M_{12} \frac{dU_1}{dx} + (M_{20} + M_{12}) \frac{dU_2}{dx} + \frac{\alpha_2}{\alpha_{10} U_{10}} \frac{dP_1}{dx} = f^*$$

$$\frac{\alpha_{10} U_{10}}{\alpha_1 U_1^2} \frac{dU_1}{dx} + \frac{\alpha_{10} U_{10} \alpha_2}{\alpha_1^2 U_1 U_2} \frac{dU_2}{dx} + \frac{1}{A_1^2} \frac{dP_1}{dx} = b_3 = \frac{6\alpha_{10} U_{10} \alpha_2 W}{\delta_0 \alpha_1^2 D U_1 U_2}$$

$$M_{20} C_2 \frac{d\theta_2}{dx} = b_4 = q^* - \frac{6}{\delta_0 \alpha_{10} U_{10}} \frac{\alpha_2 P_2 W}{r_2 D^4}, \quad U_2 \frac{dD}{dx} = \frac{2}{\delta_0} W$$

$$DU_2 \frac{dW}{dx} = b_5 = \frac{1}{\delta_0} \left[\frac{2(P_2 - P_1 - s/D)}{r_1} - 3W^2 - \frac{\eta W}{D} \right]$$

$$(1.13) \quad r_1 = 1 + (P_1 - 1) A_1^{-2}, \quad r_2 = D^{-3}, \quad P_2 = P_{20} r_2 \theta_2$$

$$U_1 \alpha_1 r_1 = U_{10} \alpha_{10}, \quad r_2 \alpha_2 U_2 = \alpha_{20} U_{20}$$

Система (1.12) имеет первый интеграл, следующий из суммы двух первых уравнений

$$(1.14) \quad U_1 + M_{20} U_1 + \frac{P_1}{\alpha_{10} U_{10}} = U_{10} + M_{20} U_{20} + \frac{P_{10}}{\alpha_{10} U_{10}}$$

2. Основные соотношения, определяющие ударные волны. Далее будет рассматриваться структура плоской стационарной ударной волны, в которой среда переходит из начального равновесного состояния (*o*) (соответствующие параметры снабжены индексом *O* внизу), в другое равновесное состояние (*e*) (соответствующие параметры снабжены индексом *e* внизу)

$$(2.1) \quad U_{10} = U_{20} = U_0, \quad W_0 = 0, \quad P_{20} = 1 + s, \quad \theta_{20} = \theta_{10} = P_{10} = 1$$

$$(2.2) \quad U_{1e} = U_{2e} = U_e, \quad W_e = 0, \quad P_{2e} = P_{1e} + s/D_e, \quad \theta_{2e} = \theta_{1e} = 1$$

Значения этих параметров в состоянии *e* определяются из конечных соотношений (1.13), (1.14) по заданным параметрам в начальном состоянии M_{20} , α_{20} , U_0 ($P_{10} = r_{10} = r_{20} = D_0 = \theta_0 = 1$). Эти соотношения с учетом (2.1) и (2.2) принимают вид

$$(2.3) \quad U_e \alpha_{1e} r_{1e} = \alpha_{10} U_0, \quad U_e \alpha_{2e} r_{2e} = \alpha_{20} U_0, \quad \alpha_{1e} + \alpha_{2e} = 1$$

$$r_{1e} = 1 + \frac{P_{1e} - 1}{A_1^2}, \quad r_{2e} = \frac{P_{2e}}{P_{20}} = D_e^{-3}, \quad P_{2e} = P_{1e} + \frac{s}{D_e}$$

$$(U_0 - U_e) \alpha_{10} U_0 (1 + M_{20}) = P_{1e} - 1$$

В случае малого влияния капиллярных эффектов ($s \ll 1$), что всегда реализуется при не очень мелких пузырьках ($\delta_0 \geq 0.1$ мм) из (2.3) имеем квад-

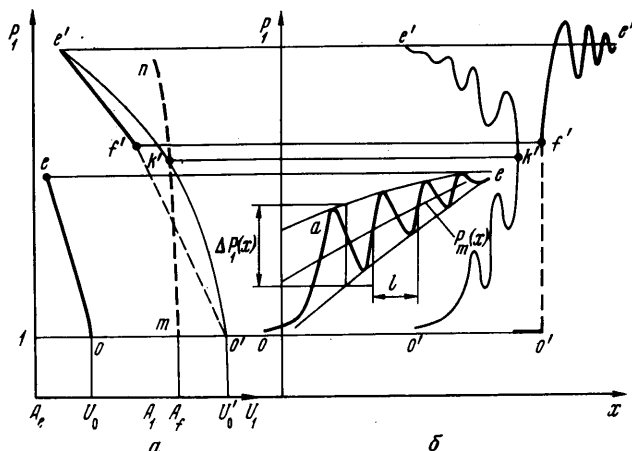
ратное уравнение относительно $P_e = P_{e1} = P_{e2}$

$$(2.4) \quad (P_e - 1)^2 + k_1(P_e - 1) + k_0 = 0$$

$$k_1 = A_1^2 \left[1 - \frac{\alpha_{10} U_0^2}{A_1^2} (1 + M_{20}) + \frac{1}{A_1^2} \right],$$

$$k_0 = A_1^2 \left[1 - \left(\alpha_{20} + \frac{\alpha_{10}}{A_1^2} \right) \alpha_{10} U_0^2 (1 + M_{20}) \right]$$

Для не очень сильных ударных волн $k_1 > 0$ и минимальное значение скорости, при которой существует ударная волна уплотнения ($P_e > 1$), на-



Фиг. 1

ходится из условия $k_0 < 0$, которое приводит к условию существования ударной волны уплотнения

$$(2.5) \quad U_0 > A_e = [\alpha_{10} (\alpha_{20} + \alpha_{10} / A_1^2) (1 + M_{20})]^{-1/2}$$

Если $U_0^2 \ll A_1^2$ и $A_1^{-2} \ll \alpha_{20}$, то можно пренебречь сжимаемостью несущей жидкости и из (2.4) следует:

$$(2.6) \quad P_e = \alpha_{20} \alpha_{10} U_0^2, \quad U_0 > A_e = (\alpha_{10} \alpha_{20})^{-1/2}$$

Соответствующее A_e значение скорости $a_e = A_e a_*$ может рассматриваться как равновесная скорость звука в данной релаксирующей среде.

Для численных расчетов удобней разрешить первые три уравнения системы (1.12) относительно производных в виде

$$(2.7) \quad \frac{dP_1}{dx} = \frac{\Delta_{p1}}{\Delta}, \quad \frac{dU_1}{dx} = \frac{\Delta_{v1}}{\Delta}, \quad \frac{dU_2}{dx} = \frac{\Delta_{v2}}{\Delta}$$

На фиг. 1 схематично показаны интегральные кривые системы (1.12) или (2.7) в плоскости $U_1 P_1$ (фиг. 1, а) и в плоскости $x P_1$ (фиг. 1, б). Алгебраическое уравнение $\Delta(U_1, U_2, P_1, \alpha_1, r_1) = 0$ определяет точки, в которых градиенты параметров P_1, U_1, U_2 вдоль координаты x становятся равными бесконечности и меняют знак (за исключением особой точки, где, кроме того, $\Delta_{v1} = \Delta_{v2} = \Delta_{p1} = 0$). Указанное уравнение можно привести к виду $\Delta(U_1, P_1) = 0$. Если учесть, что $\rho_{20} / \rho_{10} \ll 1$, $\alpha_2^2 \ll 1$, то решение этого уравнения представляется в виде $U_1 \approx \alpha_1^{-2} A_1$ (линия mn на фиг. 1). Пересечение этой линии с линией начальных состояний ($P_1 = 1$) дает безразмерную скорость $A_1 = A_1 \alpha_{10}^{-2}$.

Исследование поля интегральных кривых показало, что аналогично релаксирующему газу и смеси газа с частицами [14] при скорости волны $U_0 < A_f$ существует единственная непрерывная интегральная кривая системы (1.12), соединяющая начальное o и конечное e равновесные состояния (кривая oe на фиг. 1). Если $U_0 > A_f$, то непрерывная интегральная кривая, соединяющая точки o и e , должна пересечь линию бесконечных градиентов mn (см. $o'k'e'$ на фиг. 1), что физически невозможно из-за неоднозначности параметров на волне. В данном случае нужно вводить скачок типа $o'f'$, после которого в зоне релаксации процесс описывается непрерывной интегральной кривой $f'e'$. Соответствующая A_f скорость $a_f = A_f a_* \approx a_1 \alpha_{10}^{-2}$ может рассматриваться как замороженная скорость звука, которая близка к скорости звука в чистой жидкости.

Можно показать, что аналогично релаксирующему газу полученная равновесная скорость звука a_e совпадает с фазовой скоростью распространения слабых гармонических возмущений, имеющих частоту $\omega \rightarrow 0$, а полученная замороженная скорость звука a_f совпадает с фазовой скоростью гармонических возмущений, но имеющих частоту $\omega \rightarrow \infty$.

Исследуемые здесь стационарные решения со скачком или без скачка есть предельные решения, к которым стремятся нестационарные возмущения со скачком, при сохранении стационарных условий перед (o) и за (e) волной. Например, при движении поршня с постоянной скоростью V_0 в покоящуюся среду в начальный момент около поршня возникнет скачок, причем его начальная амплитуда и начальная скорость распространения при малых объемных содержаниях газа ($\alpha_2 \ll 1$) практически не зависят от присутствия пузырьков и определяются только свойствами жидкости. Далее начнет сказываться сжимаемость пузырьков, и скорость скачка (а вместе с ней и его амплитуда), являющегося передним фронтом возмущения, будет уменьшаться. При этом основное возмущение должно отставать от скачка. При сохранении скорости поршня V_0 установится стационарная волновая конфигурация. Если $V_0 = v_0 - v_e > V_f$, то передний скачок имеет предельную ненулевую амплитуду, что соответствует стационарному режиму $v_0 > a_f$; если $V_0 = v_0 - v_e < V_f$, то интенсивность скачка затухает до нуля, что соответствует стационарному режиму $a_e < v_0 < a_f$.

В опытах [3] получены существенно более высокие скорости волн v_0 , чем это следует из (2.6), для достаточно сильных волн ($P_e > 3$), когда явно справедливы упрощения, при которых выведено (2.6). Это, по-видимому, объясняется тем, что на использованном экспериментальном участке не успевал установиться стационарный режим и замерялась скорость переднего нестационарного возмущения, которое еще должно было замедляться и затухать.

При наличии скачка необходимо привлечение дополнительных уравнений на скачке. Эти уравнения для жидкости с пузырьками (в отличие от газа с каплями или частицами) могут быть осложнены дополнительными эффектами, и в частности, дроблением пузырей из-за образования кумулятивных струй в пузырьках при прохождении последних через скачок уплотнения. Кроме того, стационарный режим со скачком реализуется в чрезвычайно сильных ударных волнах, когда необходим учет фазовых переходов и других физико-химических процессов. Так, в воде с пузырьками воздуха при $p_0 = 1$ бар, $\alpha_{20} = 0.02$ режим $v_0 > a_f$ реализуется при $p_e > 3700$ бар.

Далее будет рассматриваться более интересный для практики случай умеренных стационарных ударных волн без скачка, когда скорость волны v_0 больше равновесной a_e , но меньше замороженной скорости звука.

3. Расчет структуры ударной волны ($a_e < v_0 < a_f$). Равновесным состояниям перед и за ударной волной соответствуют точки o и e , являющиеся особыми точками системы дифференциальных уравнений (1.12). Поэтому необходимо исследование асимптотического поведения системы в этих точках. Для этого система (1.12) линеаризуется относительно значений параметров в этих точках. Решения полученных двух систем (для окрестностей точек o и e) ищутся в виде затухающей (соответственно при $x \rightarrow -\infty$

или $x \rightarrow +\infty$) экспоненты $U_i = U_\varphi + B_{vi} \exp k_\varphi x$ ($\varphi = o, e$; $\operatorname{Re} k_o > 0$, $\operatorname{Re} k_e < 0$). Условия существования соответствующих нетривиальных решений, когда можно пренебречь сжимаемостью жидкости ($U_0^2 \ll A_1^2$, $A_1^{-2} \ll \alpha_{20}$), капиллярными эффектами ($s \ll 1$) и массовым содержанием газа, приводятся к виду

$$(3.1) \quad E_\varphi^{(4)} K_\varphi^4 + E_\varphi^{(3)} K_\varphi^3 + E_\varphi^{(2)} K_\varphi^2 + E_\varphi^{(1)} K_\varphi + E_\varphi^{(0)} = 0, \quad K_\varphi = U_\varphi \delta_\varphi k_\varphi, \quad \varphi = o, e$$

$$E_\varphi^{(4)} = 1 + 2\alpha_{1\varphi} \alpha_{2\varphi}, \quad E_\varphi^{(3)} = E_\varphi^{(4)} Q_\varphi + \eta_\varphi (E_\varphi^{(4)} + \chi^*)$$

$$E_\varphi^{(2)} = 12(\gamma E_\varphi^{(4)} P_\varphi - \alpha_{1\varphi} \alpha_{2\varphi} U_\varphi^2) + Q_\varphi \eta_\varphi (E_\varphi^{(4)} + \chi^*) + \chi^* \eta_\varphi^2$$

$$E_\varphi^{(1)} = 12Q_\varphi (E_\varphi^{(4)} P_\varphi - \alpha_{1\varphi} \alpha_{2\varphi} U_\varphi^2 + \chi^* \eta_\varphi^2 / 12) + 12\chi^* \eta_\varphi (\gamma P_\varphi - \alpha_{1\varphi} \alpha_{2\varphi} U_\varphi^2)$$

$$E_\varphi^{(0)} = 12\chi^* Q_\varphi \eta_\varphi (P_\varphi - \alpha_{1\varphi} \alpha_{2\varphi} U_\varphi^2)$$

$$Q_\varphi = \frac{6\beta}{\rho_{20} c_2 a^*} = \frac{6ND_\varphi \lambda_2}{\rho_{20} c_2 a^* \delta_0}, \quad \eta_\varphi = \frac{\eta}{D_\varphi}, \quad \chi^* = \frac{3\chi_f}{4\pi}, \quad \nu = \frac{c_2 + R_2}{c_2}$$

Для маловязких жидкостей ($\eta \ll 1$) при малых объемных содержаниях пузырей ($\alpha_2 \ll 1$), используя неявное дифференцирование корней по Q_φ и η_φ , можно выписать значения подходящих корней (3.1) для $Q_\varphi \ll 1$ (сжатие пузырьков, близкое к адиабатическому) и для $Q_\varphi \gg 1$ (сжатие пузырьков, близкое к изотермическому). Выражения для подходящих K_0 ($\varphi = o$), имеющих положительную действительную часть и определяющих изменение параметров перед волной, имеют вид

$$(3.2) \quad Q_0 \ll 1$$

$$K_0 = \frac{U_0^2 - A_e^2}{\sqrt{A_1^2 - U_0^2}} Q_0 + \Delta, \quad A_e < U_0 < A_e \sqrt{\gamma}, \quad \Delta = O(\alpha_{20}, Q_0^2, \eta^2, Q_0 \eta)$$

$$K_0 = [12\alpha_{10} \alpha_{20} (U_0^2 - \gamma A_e^2)]^{1/2} + \frac{(\gamma - 1) A_e^2 Q_0}{2(U_0^2 - \gamma A_e^2)} - \frac{\eta}{2} + \Delta, \quad U_0 > A_e \sqrt{\gamma}$$

$$(3.3) \quad Q_0 \gg 1$$

$$K_0 = [12\alpha_{10} \alpha_{20} (U_0^2 - A_e^2)]^{1/2} - 6\alpha_{10} \alpha_{20} (\gamma - 1) A_e^2 Q_0^{-1} - 1/2 \eta + \Delta'$$

$$\Delta' = O(\alpha_{20}, Q_0^{-2}, \eta^2, Q_0^{-1} \eta)$$

Из (3.2) видно, что в адиабатическом случае ($Q_0 = 0$) подходящий корень (а следовательно, и решение) существует только при $U_0 > A_e \sqrt{\gamma}$, а при наличии теплообмена ($Q_0 > 0$) — при всех $U_0 > A_e$. С увеличением Q_0 и U_0 значение K_0 увеличивается, что увеличивает крутизну переднего фронта волны.

Интегральные кривые системы (1.14) допускают смещение вдоль оси x . Поэтому фиксируем при $x = 0$ некоторое значение безразмерного диаметра пузырьков $D < 1$ (или $B_D = D - 1$), причем D нужно взять достаточно близким к единице, чтобы в области $x \leq 0$ выполнялось линейное решение. Из (1.12) после линеаризации около начального состояния можно определить значения остальных параметров при $x = 0$. Эти величины определяют граничные условия для численного решения нелинейной задачи Коши в области $x > 0$.

Выражения для корней K_e ($\varphi=e$), определяющие поведение за волной, имеют вид

$$(3.4) \quad Q_e \ll 1, \quad \Delta^{(1)}, \Delta^{(2)}, \Delta^{(3)} = O(\alpha_{20}, Q_e^2, \eta_e^2, Q_e \eta_e)$$

$$K_e^{(1)} = -\chi^* \eta_e + \Delta^{(1)}, \quad K_e^{(2)} = -\frac{P_e - 1}{\gamma P_e - 1} Q_e + \Delta^{(2)}$$

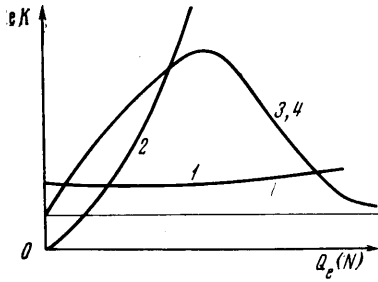
$$K_e^{(3,4)} = \pm [12(\gamma P_e - 1)]^{1/2} i - \frac{\gamma - 1}{2(\gamma P_e - 1)} Q_e - \frac{\eta_e}{2} + \Delta^{(3)}, \quad i = \sqrt{-1}$$

$$(3.5) \quad Q_e \gg 1, \quad \Delta^{(1)}, \Delta^{(3)} = O(\alpha_{20}, Q_e^{-2}, \eta_e^2, Q_e \eta_e)$$

$$K_e^{(1)} = -\chi^* \eta_e + \Delta^{(1)}, \quad K_e^{(2)} = -Q_e + O(1)$$

$$K_e^{(3,4)} = \pm [12(P_e - 1)]^{1/2} i - 6(\gamma - 1) P_e Q_e^{-1} - 1/2 \eta_e + \Delta^{(3)}$$

Все четыре корня K_e имеют отрицательную действительную часть, т. е. дают затухание возмущений при $x \rightarrow \infty$. Решение около конечного равновесного состояния за волной (e) есть в общем случае суперпозиция четырех фундаментальных решений, описывающих монотонное экспоненциальное приближение к состоянию e (корни $K_e^{(1)}$ и $K_e^{(2)}$) и затухающие по экспоненте гармонические колебания (сопряженные корни $K_e^{(3)}$ и $K_e^{(4)}$).



Фиг. 2

На фиг. 2 проиллюстрирована зависимость, подтвержденная численными расчетами, действительных частей корней (3.4), определяющих интенсивность затухания возмущения и стремления к конечному состоянию e , от величины Q_e , характеризующей теплообмен пульсирующего пузыря. Цифры на кривых фиг. 2 соответствуют номеру корня. Следует обратить внимание на немонотонность зависимости от Q_e действительной части комплексных корней $K_e^{(3)}$ и $K_e^{(4)}$, определяющих декремент затухания пульсаций.

4. Теплообмен пузырька с жидкостью. Характерная радиальная толщина зоны, где реализуется перепад температур, определяется выражением

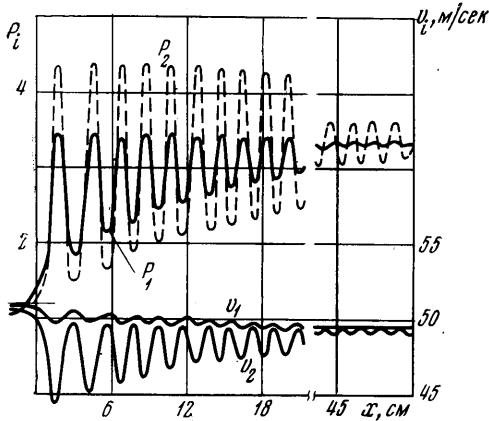
$$(4.1) \quad \Delta r = (\lambda_2 t_* / c_2 \rho_2^0)^{1/2} = (h_2 t_*)^{1/2}, \quad h = \lambda / c \rho$$

где t_* — характерное время изменения размера пузырька (например, период пульсаций). Если $\Delta r \ll \delta$, то как некоторое приближение можно полагать, что температура от центра пузырька до радиуса $r = 1/2 \delta - \Delta r$ постоянна и равна T_2 , а от $r = 1/2 \delta - \Delta r$ до стенок $r = 1/2 \delta$ меняется линейно от T_2 до T_0 , причем $T_0 \approx T_1$, так как $\lambda_1 \gg \lambda_2$, $h_1 \ll h_2$. Тогда коэффициент теплообмена между газом и жидкостью равен

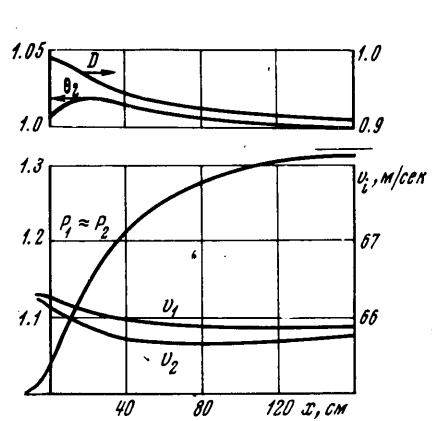
$$(4.2) \quad \beta = \lambda_2 / \Delta r, \quad N = \delta / \Delta r = \delta (c_2 \rho_2^0 / \lambda_2 t_*)^{1/2}$$

При монотонном экспоненциальном сжатии пузырька в начале волны и при пульсациях за волной характерное время определяется значениями k_φ (см. (3.2), (3.3), (3.5), (3.6))

$$(4.3) \quad t_* = (v_0 k)^{-1} = \delta_0 / (a_* K_\varphi), \quad \varphi = 0, e$$



Фиг. 3



Фиг. 4

где при синусоидальных пульсациях (K_e — комплексный корень) вместо K_p нужно подставить его мнимую часть. Формулы (4.2), (4.3) определяют Q_0 и Q_e .

Решение нелинейной нестационарной задачи теплопроводности с последовательным определением возникающих полей температур, плотностей и смещений при радиальных движениях в жидкости одиночного пузыря подтвердило формулы (4.2), (4.3) [15].

Продольное движение пузырька относительно жидкости, приводящее к циркуляционному движению внутри пузырька, интенсифицирует теплообмен. Этот эффект зависит от числа Пекле $Pe = \rho_2 c_2 \delta (v_1 - v_2) \lambda_2^{-1}$, которое в рассматриваемых ниже случаях не превышает 10^2 . Оценки, основанные на расчетах [13] массообмена пузырька с жидкостью с учетом и без учета циркуляции внутри пузырька, показывают, что указанная интенсификация не превышает 30% при $Pe < 10^2$. Кроме этого, смещения за один период пульсаций частиц газа внутри пузырька из-за продольного обтекания жидкостью существенно меньше радиуса пузырька. Поэтому относительное движение фаз в рассмотренных случаях не может существенно повлиять на теплообмен. В более сильных волнах из-за увеличения Pe и дробления это влияние может быть заметнее.

5. Результаты расчетов и выводы. Рассчитывались различные варианты структуры ударных волн в растворе 1:1 глицерина с водой, содержащем пузырьки воздуха, применительно к результатам соответствующих экспериментов [3, 4]. Использовались следующие значения термодинамических параметров фаз:

$$(5.1) \quad \rho_{10} = 1126 \text{ кг/м}^3, \nu_1 = 0.75 \cdot 10^{-5} \text{ м}^2/\text{сек}, a_1 = 1500 \text{ м/сек}, T_0 = 300^\circ \text{ К} \\ c_2 = 0.716 \cdot 10^3 \text{ м}^2/\text{сек}^2 \cdot \text{град}, \gamma = 1.4, \lambda_2 = 2.47 \cdot 10^{-2} \text{ кг} \cdot \text{м/сек}^3 \cdot \text{град}$$

На фиг. 3 и 4 в качестве примера приведены рассчитанные структуры волн со следующими значениями параметров, определяющих исходное состояние смеси, интенсивность волны P_e , ее скорость v_0 относительно среды перед фронтом соответственно

$$(5.2) \quad \delta_0 = 3.1 \text{ мм}, \alpha_{20} = 0.0423, p_0 = 0.358 \text{ бар} \\ a_* = 5.64 \text{ м/сек}, a_e = 28.0 \text{ м/сек} \\ P_e = 3.32, v_0 = 50.9 \text{ м/сек}, U_0 = 9.03$$

$$(5.3) \quad \delta_0 = 2.8 \text{ мм}, \alpha_{20} = 0.0246, p_0 = 0.902 \text{ бар} \\ a_* = 8.95 \text{ м/сек}, a_e = 57.9 \text{ м/сек} \\ P_e = 1.32, v_0 = 66.2 \text{ м/сек}, U_0 = 7.4$$

Фиг. 3 и 4 соответствуют случаю, когда трение между фазами определяется коэффициентом $\chi_f(R_{12})$ согласно (1.6, а теплообмен на всех участках волны определяется коэффициентом $N=30$, по порядку совпадающим со значением по формуле (4.4) для пульсирующего пузырька.

Фиг. 3 дает пример ударной волны с пульсационной, а фиг. 4 — с монотонной структурой. Уменьшение интенсивности волны P_e , размера пузырьков δ_0 , объемного содержания газа α_{20} при фиксированной скорости волны v_0 , увеличение вязкости ν_1 , уменьшение параметра теплообмена N или Q_0 на начальном участке волны усиливают тенденцию к монотонной структуре.

Результаты настоящих расчетов сравнивались с опытными данными [3, 4], которые получены на вертикальной ударной трубе. Так как в экспериментах определяется кривая $p_1(t)$, которая в случае стационарных волн может быть пересчитана в $p_1(x) = p_1(t)$, $x = v_0 t$, то имеет смысл подробнее рассматривать расчетные кривые $P_1(x)$. Характер этих кривых показан на фиг. 1, б (линия *оae*), откуда видно, что для сравнения различных вариантов удобней характеризовать осциллирующую зависимость $P_1(x)$ тремя функциями: $P_m(x)$ — осредненное давление в жидкости, $\Delta P_1(x)$ — амплитуда пульсаций, $l(x)$ — период или длина пульсационной волны. При этом затухание осцилляций носит экспоненциальный характер $\Delta P_1 \sim \exp(-x/d)$, где d — характерная длина затухания пульсаций. В случае монотонной структуры ($\Delta P_1=0$) l и d не имеют смысла и $P_1(x) = P_m(x)$. Из (3.5) и (3.4) следуют выражения для предельных значений l и d за волной (при $x \rightarrow \infty$)

$$(5.4) \quad \begin{aligned} l &= \frac{\pi U_e \delta_e}{\sqrt{3}(\gamma P_e - 1)^{1/2}}, & d &= U_e \delta_e \left[\frac{(\gamma - 1) Q_e}{2(\gamma P_e - 1)} + \frac{\eta_e}{2} \right]^{-1}, & Q_e &\ll 1 \\ l &= \frac{\pi U_e \delta_e}{\sqrt{3}(P_e - 1)^{1/2}}, & d &= U_e \delta_e \left[\frac{6(\gamma - 1) P_e}{Q_e} + \frac{\eta_e}{2} \right]^{-1}, & Q_e &\gg 1 \end{aligned}$$

Значения входящих сюда параметров определяются формулами (2.3), (2.6), (3.4), причем $U_e \approx U_0$, $\delta_e \sim \delta_0$.

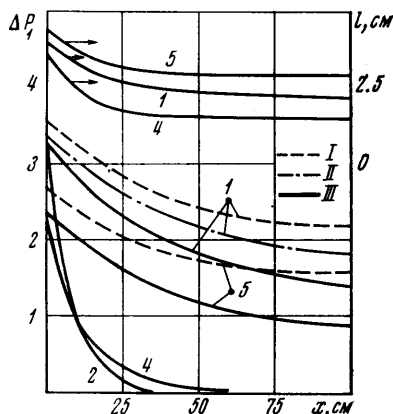
На фиг. 5 и 6 для волн с параметрами (5.2) и (5.3) соответственно представлены графики изменения величин $l(x)$ и $\Delta P_1(x)$ при различных значениях χ_f и N . Пунктирные линии здесь соответствуют $\chi_f = \infty$, штрихпунктирные — $\chi_f = 6\mu$ (формула В. Г. Левича), сплошные линии — $\chi_f = \chi_f(R_{12})$ согласно замечанию после (1.6). Цифры на кривых соответствуют $N = \infty$ (1), $N = 3000$ (2), $N = 300$ (3), $N = 30$ (4), $N = 0$ или $N \rightarrow 0$ (кривые 5). Пунктирные и штрихпунктирные кривые 2, 3, 4 практически совпадают со сплошными. Заметим, что $\chi_f = \infty$ относится к режиму $v_1 = v_2$ и описывается односкоростной моделью, а случай $N = \infty$ — к изотермическому режиму $T_2 = T_1 = T_0$ и описывается однетемпературной моделью.

Экспериментальные значения [3] длин пульсационных волн l с параметрами (5.2) и (5.3) равны 2.6 и 6.4 см соответственно, что неплохо согласуется с результатами расчетов (фиг. 5 и 6).

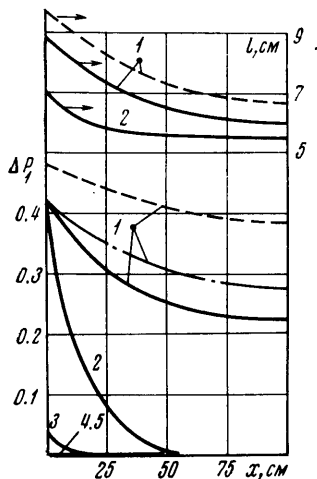
Результаты расчетов показали существенное влияние межфазного теплообмена и соответствующего параметра N (или Q) на структуру ударной волны. Это видно из сравнения между собой кривых 1—5 на фиг. 5 и 6. Для слабых ($P_e \ll \gamma$) волн (см. фиг. 4 и кривые 4, 5 на фиг. 6) при достаточно больших значениях $N > 10^3$ (кривые 1, 2 на фиг 6) получается осциллирующая структура, а при меньших значениях $N < 10^2$ реализуется беспульсационная ударная волна (с монотонной структурой), когда давления, скорости и температуры фаз почти совпадают между собой. Это объясняется тем, что при указанных малых $P_e \ll \gamma$ (или $U_0 \ll A_e \sqrt{\gamma}$) и N (или Q_0) получаются малые значения k_0 , дающие медленное изменение параметров на начальном участке волны (около состояния o , $x = -\infty$), и давления фаз p_1 и p_2 успевают между собой выравниваться. Достаточно при расчетах увеличить N до 10^3 и более только на начальном участке волны, где δ успевает уменьшиться всего на 3—5%, как расчетная структура получается пульсационной.

Решение задачи теплопроводности пульсирующего пузырька в жидкости (с учетом замечания о влиянии циркуляционного движения внутри пузырька) показало, что именно значения $N \sim 10^1 - 10^2$ ($Q \sim 10^{-1} - 1$) характерны при $p \sim 1$ бар для пузырька с $\delta \sim 1$ мм, как в процессе его постепен-

ного сжатия на начальном участке (oa на фиг. 1, б), так и при затухающих пульсациях (теплообмен на этом участке качественно описывается формулой (4.2)). При этом поведение газа в пузырьке достаточно близко к адиабатическому. Таким образом, достаточно слабая ударная волна ($P_e \ll \gamma$) с параметрами (5.3) в стационарном режиме не должна иметь пульсаций. В нестационарном же режиме для волны такой интенсивности



Фиг. 5



Фиг. 6

могут реализовываться пульсации пузырей, постепенно затухающие при выходе волны на стационарный режим.

В опытах [3] для таких волн, и в частности для волны с параметрами (5.3), получался пульсационный режим, что, по-видимому, говорит об их нестационарности из-за недостаточной длины экспериментального участка. Действительно в этих опытах датчики давления были установлены на расстоянии $1 \div 1.5$ м от поверхности жидкости, на которой возникла ударная волна. В то же время толщины осциллирующих зон релаксации рассматриваемых ударных волн также примерно равны $1 \div 1.5$ м. Поэтому на этих расстояниях волны не подчиняются стационарному анализу, так как они не успевают выходить на стационарный режим, когда волна движется как целое со скоростью v_0 по покоящейся среде. Это же замечание относится и к опытам [4], когда размер пузырьков был равен $\delta_0 \sim 2$ мм.

Следует отметить немонотонную зависимость структуры, в частности таких ее параметров, как длина волны l и характерная длина затухания пульсаций \bar{d} , от параметра N , определяющего теплообмен вне начального участка волны (вне oa ; см. фиг. 1, б). Это видно из фиг. 5 и 6 и, кроме того, следует из немонотонной зависимости декремента затухания пульсаций в линейном решении (см. фиг. 3). В двух предельных случаях адиабатического ($N=0$) и изотермического ($N=\infty$) поведения газа в пузырьке, а также для любого политропического поведения газа с фиксированным показателем политропы диссипация кинетической энергии происходит только из-за вязкости жидкости. При конечных же N диссипация происходит и за счет необратимого межфазного теплообмена, когда количество тепла, отданное пузырьками в жидкость в стадии сжатия, превышает количество тепла, полученное пузырьком от жидкости в стадии расширения. При некотором N эта диссипация имеет максимум. В результате структура ударной волны и ее характеристики (такие, как l и \bar{d}) не лежат между соответствующими значениями для адиабатического и изотермического режимов.

Относительное продольное движение (скольжение) фаз или двухскоростные эффекты имеют значение только в тех случаях, когда не учитывается тепловая диссипация, т. е. предполагается политропичность газа, например изотермичность или адиабатичность (ср. пунктирную ($\chi_f = \infty$), штрихпунктирную ($\chi_f = 6\lambda$) и сплошную ($\chi_f = \chi_f(R_{1,2})$) кривые на фиг. 5 и 6, рассчитанные для случая $T_2 = \text{const}$. При учете реальной тепловой неравновесности ($10 < N < 10^3$) роль двухскоростных эффектов становится незаметной на фоне гораздо более сильной тепловой диссипации. В волне с осциллирующей структурой это относительное движение в основном определяется инерционными эффектами, так как $f_m \gg f_f$. Действие силы трения f_f , приводящее к выравниванию скоростей фаз и некоторой дополнительной диссипации, малозаметной на фоне тепловой диссипации, сказывается постепенно (после многих пульсаций). Поэтому вариации в соотношениях для f_f практически не влияют на поведение волны.

Сжимаемость жидкости при пульсациях пузырей приводит к дополнительной диссипации энергии из-за акустического излучения и соответственно к ускорению затухания осцилляций. Расчеты с учетом этого эффекта в уравнении Рэлея (1.4) в рамках акустического приближения показали заметное влияние указанного эффекта в более сильной волне (5.2). В волне (5.3) этот процесс не заметен.

Следует учитывать, что при увеличении интенсивности волн P_e длина пульсационных волн l уменьшается (см., например, (5.5)) и может стать по порядку равной или меньшей расстояний между пузырьками. Это может привести к нарушению допущения 1 п. 1, т. е. для анализа более сильных волн может потребоваться совершенствование модели.

Авторы благодарят Л. И. Седова и Н. С. Хабеева за полезное обсуждение.

Поступила 24 V 1973

ЛИТЕРАТУРА

1. Нигматулин Р. И. Мелкомасштабные течения и поверхностные эффекты в гидромеханике многофазных сред. ПММ, 1971, т. 35, вып. 3.
2. Когарко Б. С. Об одной модели кавитирующей жидкости. Докл. АН СССР, 1961, т. 137, № 6.
3. Noordzij L. Shock waves in bubble-liquid mixtures. Physical communications. Twente Univ. Technology, 1971, vol. 3, No. 1.
4. Кутателадзе С. С., Бурдуков А. П., Кузнецов В. В., Накоряков В. Е., Покусаев Б. Г., Шрейбер И. Р. О структуре слабой ударной волны в газожидкостной среде. Докл. АН СССР, 1972, т. 207, № 2.
5. Crespo A. Sound and shock waves in liquids containing bubbles. Phys. Fluids, 1969, vol. 12, No. 11.
6. Wijngaarden L. van. On the structure of shock waves in liquid-bubble mixtures. Appl. Sci. Res., 1970, vol. 22, No. 5, pp. 366-381.
7. Накоряков В. Е., Соболев В. В., Шрейбер И. С. Длинноволновые возмущения в газожидкостной среде. Изв. АН СССР, МЖГ, 1972, № 5.
8. Wijngaarden L. van. One-dimensional flow of liquids containing small gas bubbles. Ann. Rev. Fluid Mech., vol. 4, Palo Alto, Calif., 1972.
9. Якимов Ю. Л. Силы, действующие на малое тело в произвольном потоке несжимаемой жидкости, и уравнения движения двухфазной среды. Изв. АН СССР, МЖГ, 1973, № 3.
10. Иорданский С. С. Об уравнениях движения жидкости, содержащей пузырьки газа. ПМТФ, 1960, № 3.
11. Воинов О. В., Петров А. Г. Движение малой сферы в неоднородном потоке несжимаемой жидкости. ПМТФ, 1973, № 5.
12. Левич В. Г. Физико-химическая гидродинамика. М., Физматгиз, 1959.
13. Соу С. Гидродинамика многофазных систем. М., «Мир», 1971.
14. Нигматулин Р. И. К вопросу о волнах уплотнения в двухфазных средах. Вестн. МГУ, Матем. и механ., 1969, № 4.
15. Нигматулин Р. И., Хабеев Н. С. Теплообмен газового пузырька с жидкостью. Изв. АН СССР, МЖГ, 1974, № 5.